



Laboratorium EMVO Sp. J. Urbański, Pawelak
ul. Jasna 1
00-013 Warszawa

tel. +48 22 780 29 64
e-mail: laboratorium@emvo.pl



AB 1630

Sprawozdanie z pomiarów pól elektromagnetycznych - środowisko nr 58/12/OŚ/2022– P4-W



Nr i nazwa stacji	KIE1033B	
Adres	Kielce, Witosza 68a, pow. Kielce, woj. świętokrzyskie	
Opracowanie	Martyna Karczmarczyk	Specjalista ds. pomiarów
Autoryzacja	Andrzej Urbański	Kierownik Laboratorium
Podpis		
Data	2022-12-09	

Spis treści

1. Informacje ogólne.....	3
2. Podstawa prawna.....	3
3. Opis pomiarów.....	4
4. Zróżnicowanie dopuszczalne poziomy pól elektromagnetycznych.....	5
5. Charakterystyka źródeł PEM.....	5
6. Wyniki pomiarów.....	5
7. Stwierdzenie zgodności	6
8. Oświadczenie.....	8
9. Spis załączników.....	8

1. Informacje ogólne.

Zleceniodawca	P4 sp. z o.o., ul. Wynałazek 1, 02-677 Warszawa osoba udzielająca informacji- Monika Bieroza
Istotne informacje dostarczone przez klienta	komplet informacji niezbędnych do wykonania pomiarów i opracowania sprawozdania
Dane otrzymane od klienta mogące mieć wpływ na ważność wyników	Dane anten sektorowych, dane anten radioliniowych, parametry pracy instalacji, ustawienie pochylenia anten
Prowadzący instalację	P4 sp. z o.o., ul. Wynałazek 1, 02-677 Warszawa
Lokalizacja obiektu	Kielce, Witosa 68a, pow. Kielce, woj. świętokrzyskie
Miejsce instalacji anten	Wieża kratowa
Miejsce instalacji urządzeń	Outdoor
Osoby wykonujące pomiar	Daniel Karpiński
Data wykonania pomiaru	09.12.2022
Temperatura na początku pomiaru [°C]	3,0
Temperatura na koniec pomiaru [°C]	3,0
Warunki atmosferyczne	Brak opadów
Wilgotność na początku pomiaru [%]	81,0
Wilgotność na koniec pomiaru [%]	81,0
Godzina na początku pomiaru	12:13
Godzina na koniec pomiaru	14:50
Inne źródła pól elektromagnetycznych oznaczone na załączniku graficznym	Występują
Parametry pracy instalacji	Tryb eksploatacyjny

2. Podstawa prawna.

2.1 Normy i rozporządzenia:

- Rozporządzeniem Ministra Klimatu z dnia 17 lutego 2020 r. w sprawie sposobów sprawdzania dotrzymania dopuszczalnych poziomów pól elektromagnetycznych w środowisku (Dz.U. 2020 poz. 258)
- Rozporządzenie Ministra Zdrowia z dnia 17 grudnia 2019 r. w sprawie dopuszczalnych poziomów pól elektromagnetycznych w środowisku (Dz.U. 2019 poz. 2448)
- Obwieszczenie Marszałka Sejmu Rzeczypospolitej Polskiej z dnia 29 września 2021 r. w sprawie ogłoszenia jednolitego tekstu ustawy - Prawo ochrony środowiska (Dz.U. 2021 poz. 1973)
- Rozporządzenie Ministra Klimatu i Środowiska z dnia 6 maja 2022 r. zmieniające rozporządzenie w sprawie sposobów sprawdzania dotrzymywania dopuszczalnych poziomów pól elektromagnetycznych w środowisku (Dz.U. 2022 poz. 1121).

„Bez pisemnej zgody Laboratorium niniejsze sprawozdanie nie może być powielane inaczej, jak tylko w całości. Ponadto wyniki dotyczą tylko badanych obiektów przywołanych w niniejszym sprawozdaniu z badań”

3. Opis pomiarów

Metodologia pomiarowa	Pomiary w oparciu o Rozporządzeniem Ministra Klimatu z dnia 17 lutego 2020 r. w sprawie sposobów sprawdzania dotrzymania dopuszczalnych poziomów pól elektromagnetycznych w środowisku (Dz.U. 2020 poz. 258) oraz Rozporządzenie Ministra Klimatu i Środowiska z dnia 6 maja 2022 r. zmieniające rozporządzenie w sprawie sposobów sprawdzania dotrzymywania dopuszczalnych poziomów pól elektromagnetycznych w środowisku (Dz.U. 2022 poz. 1121).
Cel badań	Określenie wartości natężenia pola elektrycznego w miejscach dostępnych dla ludności.
Opis zestawu pomiarowego	Miernik Narda NBM 520, Sonda EF 9091, o zakresie pomiarowym 0,7 V/m 300V/m pracująca w paśmie 80 MHz – 90 GHz, świadectwo wydane przez Laboratorium Wzorców i Metrologii Pola Elektromagnetycznego, Instytut Telekomunikacji, Teleinformatyki i Akustyki Politechniki Wrocławskiej, numer świadectwa: LWIMP/W/081/21, świadectwo ważne do 11.03.2023r. Miernik Narda NBM 520, Sonda EF 9091 pracująca w zakresie temperatury -10°C - +50°C oraz wilgotności 5% - 95%. Niepewność rozszerzona 59,8% przy poziomie ufności 95% z uwzględnieniem współczynnika rozszerzenia k=2.
Wyposażenie pomocnicze	Termohigrometr Bestone, Nr. inwentarzowy 07/WL, typ: GM1362-EN-00, nr identyfikacyjny 1222436, świadectwo wzorcowania z dn. 03.04.2017r. wydane przez Laboratorium Pomiarowe "MUTECH". Przymiar wstęgowy STABILA, Nr. inwentarzowy 18/WL, nr seryjny 10721, świadectwo wzorcowania nr. 6W1/1551/17 z dn. 19.06.2017r. wydane przez Zespół Laboratoriów wzorcujących Okręgowego Urzędu Miar w Gdańsku. GPS Garmin 64s okresowo sprawdzany w punktach osnowy geodezyjnej klasy 3 na podstawie licencji punktu, zgodnie z procedurą sprawdzeń okresowych IS/PO-16-11/03.
Pomiary zostały wykonane	<ol style="list-style-type: none">1. na głównych i pomocniczych kierunkach pomiarowych, na kierunkach zbliżonych do azymutów anten oraz w dodatkowych pionach pomiarowych zgodnie z wymaganiami pkt 12, 13, 14 i 19 Rozporządzenia Ministra Klimatu z dnia 17 lutego 2020 r. (Dz. U. 2020, poz. 258) oraz Rozporządzenia Ministra Klimatu i Środowiska z dnia 6 maja 2022 r. zmieniającego rozporządzenie w sprawie sposobów sprawdzania dotrzymywania dopuszczalnych poziomów pól elektromagnetycznych w środowisku (Dz.U. 2022 poz. 1121).2. na obszarze pomiarowym, dla którego, na podstawie uprzednio przeprowadzonych obliczeń stwierdzono w miejscach dostępnych dla ludności występowanie pól elektromagnetycznych o najwyższym poziomie, które pochodzą z badanej instalacji zgodnie z wymaganiami pkt 5 ppkt 2 oraz pkt 13 ppkt 1 Rozporządzenia Ministra Klimatu z dnia 17 lutego 2020 r. w sprawie sposobów sprawdzania dotrzymania dopuszczalnych poziomów pól elektromagnetycznych w środowisku (Dz. U. 2020, poz. 258) oraz Rozporządzenia Ministra Klimatu i Środowiska z dnia 6 maja 2022 r. zmieniającego rozporządzenie w sprawie sposobów sprawdzania dotrzymywania dopuszczalnych poziomów pól elektromagnetycznych w środowisku (Dz.U. 2022 poz. 1121). Wyniki obliczeń nie uwzględniały parametrów pracy instalacji innych operatorów występujących na obiekcie bądź w obszarze pomiarowym.3. w miejscach dostępnych dla ludności.4. miejsca niedostępne podczas wykonywania pomiarów wskazane zostały w pkt 6 (tabeli wyniki pomiarów).

Szczególne warunki podczas wykonywania pomiarów

Pomiary wykonane zostały podczas obowiązywania w kraju stanu zagrożenia epidemicznego, zgodnie z art. 122a ust. 1b Ustawy z dnia 27 kwietnia 2001 r. – Prawo ochrony środowiska (Dz. U. z 2019 r. poz. 1396, z późn. zm.9)).

Warunki pracy urządzeń nadawczych

Tryb pracy eksploatacyjny.

4. Zróżnicowanie dopuszczalne poziomy pól elektromagnetycznych.

Zakresy znajdują się w Dzienniku Ustaw z dnia 17 grudnia 2019 r. przedstawione są w tabeli nr 2 (Dz. U. z 2019r. poz. 2448).

Parametr fizyczny	Składowa elektryczna E (V/m)	Składowa magnetyczna H (A/m)	Gęstość mocy S (W/m ²)
Zakres Częstotliwości pola elektromagnetycznego			
od 400 MHz do 2000 MHz	$1,375 \times f^{0,5}$	$0,0037 \times f^{0,5}$	$f / 200$
od 2 GHz do 300 GHz	61	0,16	10

5. Charakterystyka źródeł PEM.

Zgodnie z informacją otrzymaną od Klienta pomiary zostały wykonane przy ustawieniach pochylenia anten zgodnych z pkt. 13, ppkt 2 Rozporządzenia Ministra Klimatu z dnia 17 lutego 2020 roku.

Tabela 1. Anteny sektorowe - dane otrzymane od klienta

Charakterystyka promieniowania		kierunkowa														
Rzeczywisty czas pracy [h/dobę]		24														
Rodzaj wytwarzanego pola		stacjonarne														
Lp	Wyszczególnienie	sektor 1					sektor 2					sektor 3				
I																
Nadajnik stacji bazowej:																
1	Typ / Producent	RBS / SRAN Ericsson														
2	Częstotliwość (pasmo) MHz	2600	2100	1800	900	800	2600	2100	1800	900	800	2600	2100	1800	900	800
3	Maksymalna moc nadawana na sektor [dBm]	52,04	53,01	53,01	47,78	49,03	52,04	53,01	53,01	47,78	49,03	52,04	53,01	53,01	47,78	49,03
II																
Obciążenie:																
1	Typ anteny	Huawei ATR451709					Huawei ATR451709					Huawei ATR451709				
2	Producent anteny	Huawei					Huawei					Huawei				
3	Nazwa anteny	11_GH LNTV	11_GH LNTV	11_GH LNTV	11_GH LNTV	11_GH LNTV	21_GH LNTV	21_GH LNTV	21_GH LNTV	21_GH LNTV	21_GH LNTV	31_GH LNTV	31_GH LNTV	31_GH LNTV	31_GH LNTV	31_GH LNTV
4	Ilość anten	1					1					1				
5	Azymut	0					120					235				
6	Zakres kątów pochylenia anten [°]	0-10	0-10	0-10	0-14	0-14	0-10	0-10	0-10	0-14	0-14	0-10	0-10	0-10	0-14	0-14
7	Wysokość zainst. n.p.t. [m]	39,00					39,00					39,00				
8	EIRP [W]	33814					33814					33814				

Tabela 2. Anteny radioliniowe- dane otrzymane od klienta

Charakterystyka promieniowania				kierunkowa			
Rzeczywisty czas pracy [h/dobę]				24			
Rodzaj wytwarzanego pola				stacjonarne			
Lp	Linia radiowa			Antena			
	typ/producent	częstotliwość pracy [GHz]	moc wyjściowa [dBm]	typ/producent	średnica anteny [m]	azymut [°]	wysokość zainstal. [m]
1	OPTIX RTN/HUAWEI	80	18	VHLP2-80/Andrew	0,6	126	21,60
2	OPTIX RTN/HUAWEI	80	18	VHLP1-80/Andrew	0,3	136	22,40
3	OPTIX RTN/HUAWEI	80	18	VHLP2-80/Andrew	0,6	167	22,60
4	OPTIX RTN/HUAWEI	80	18	VHLP1-80/Andrew	0,3	218	22,30
5	OPTIX RTN/HUAWEI	80	18	VHLP2-80/Andrew	0,6	254	23,00

6. Wyniki pomiarów.

Wyniki pomiarów pól elektromagnetycznych dla celów ochrony środowiska przedstawia poniższa tabela. Piony pomiarowe zostały przedstawione w zał. 2.

Nr PP	Pole-E [V/m]	Pole-E, +U [V/m]	Pole-H [A/m]	Pole-H +U [A/m]	Wys. pomiaru [m]	Opis pionu	Uwagi	WM _E	WM _H
1	2,5	4,00	0,007	0,011	0,3-2,0	N:50°54'16.7" E:20°39'01.1"	otoczenie stacji bazowej - 50m wzdłuż gł. osi promieniowania - GKP	0,143	0,145
2	1,7	2,72	0,005	0,007	0,3-2,0	N:50°54'18.3" E:20°39'01.2"	otoczenie stacji bazowej - 100m wzdłuż gł. osi promieniowania - GKP	0,097	0,099
3	1,8	2,88	0,005	0,008	0,3-2,0	N:50°54'20.0" E:20°39'01.1"	otoczenie stacji bazowej - 150m wzdłuż gł. osi promieniowania - GKP	0,103	0,105
4	1,3	2,08	0,003	0,006	0,3-2,0	N:50°54'21.7" E:20°39'01.1"	otoczenie stacji bazowej - 200m wzdłuż gł. osi promieniowania - GKP	0,074	0,075
5	0,7*	1,28	0,002	0,003	0,3-2,0	N:50°54'23.3" E:20°39'01.4"	otoczenie stacji bazowej - 250m wzdłuż gł. osi promieniowania - GKP	0,046	0,046
6	0,7*	1,28	0,002	0,003	0,3-2,0	N:50°54'24.8" E:20°39'01.4"	otoczenie stacji bazowej - 300m wzdłuż gł. osi promieniowania - GKP	0,046	0,046
7	0,7*	1,28	0,002	0,003	0,3-2,0	N:50°54'26.4" E:20°39'01.4"	otoczenie stacji bazowej - 350m wzdłuż gł. osi promieniowania - GKP	0,046	0,046
8	0,7*	1,28	0,002	0,003	0,3-2,0	N:50°54'27.8" E:20°39'01.5"	otoczenie stacji bazowej - 390m wzdłuż gł. osi promieniowania - GKP	0,046	0,046
9	2,5	4,00	0,007	0,011	0,3-2,0	N:50°54'14.2" E:20°39'03.5"	otoczenie stacji bazowej - 50m wzdłuż gł. osi promieniowania - GKP	0,143	0,145
10	2,4	3,84	0,006	0,010	0,3-2,0	N:50°54'13.3" E:20°39'05.4"	otoczenie stacji bazowej - 100m wzdłuż gł. osi promieniowania - GKP	0,137	0,139
11	2,2	3,52	0,006	0,009	0,3-2,0	N:50°54'12.6" E:20°39'07.5"	otoczenie stacji bazowej - 150m wzdłuż gł. osi promieniowania - GKP	0,126	0,128
12	1,8	2,88	0,005	0,008	0,3-2,0	N:50°54'11.8" E:20°39'09.5"	otoczenie stacji bazowej - 200m wzdłuż gł. osi promieniowania - GKP	0,103	0,105
13	1,6	2,56	0,004	0,007	0,3-2,0	N:50°54'10.8" E:20°39'12.1"	otoczenie stacji bazowej - 250m wzdłuż gł. osi promieniowania - GKP	0,091	0,093
14	2,0	3,20	0,005	0,008	0,3-2,0	N:50°54'10.1" E:20°39'13.9"	otoczenie stacji bazowej - 300m wzdłuż gł. osi promieniowania - GKP	0,114	0,116
15	1,2	1,92	0,003	0,005	0,3-2,0	N:50°54'08.5" E:20°39'18.1"	otoczenie stacji bazowej - 390m wzdłuż gł. osi promieniowania - GKP	0,068	0,070
16	2,0	3,20	0,005	0,008	0,3-2,0	N:50°54'14.2" E:20°38'58.9"	otoczenie stacji bazowej - 50m wzdłuż gł. osi promieniowania - GKP	0,114	0,116
17	2,2	3,52	0,006	0,009	0,3-2,0	N:50°54'14.3" E:20°38'58.9"	otoczenie stacji bazowej - 100m wzdłuż gł. osi promieniowania - GKP	0,126	0,128
18	1,6	2,56	0,004	0,007	0,3-2,0	N:50°54'13.5" E:20°38'57.0"	otoczenie stacji bazowej - 250m wzdłuż gł. osi promieniowania - GKP	0,091	0,093
19	1,4	2,24	0,004	0,006	0,3-2,0	N:50°54'10.7" E:20°38'50.3"	otoczenie stacji bazowej - 300m wzdłuż gł. osi promieniowania - GKP	0,080	0,081

„Bez pisemnej zgody Laboratorium niniejsze sprawozdanie nie może być powielane inaczej, jak tylko w całości. Ponadto wyniki dotyczą tylko badanych obiektów przywołanych w niniejszym sprawozdaniu z badań”

20	0,8	1,28	0,002	0,003	0,3-2,0	N:50°54'09.8" E:20°38'48.2"	otoczenie stacji bazowej - 350m wzdłuż gł. osi promieniowania - GKP	0,046	0,046
21	0,7*	1,28	0,002	0,003	0,3-2,0	N:50°54'08.7" E:20°38'45.4"	otoczenie stacji bazowej - 390m wzdłuż gł. osi promieniowania - GKP	0,046	0,046
22	1,7	2,72	0,005	0,007	0,3-2,0	N:50°54'08.1" E:20°39'44.2"	otoczenie stacji bazowej - 50m wzdłuż gł. osi promieniowania - GKP	0,097	0,099
23	1,6	2,56	0,004	0,007	0,3-2,0	N:50°54'13.9" E:20°39'02.9"	otoczenie stacji bazowej - 50m wzdłuż gł. osi promieniowania - GKP	0,091	0,093
24	1,6	2,56	0,004	0,007	0,3-2,0	N:50°54'13.9" E:20°38'59.1"	otoczenie stacji bazowej - 50m wzdłuż gł. osi promieniowania - GKP	0,091	0,093
25	1,3	2,08	0,003	0,006	0,3-2,0	N:50°54'14.5" E:20°38'56.0"	otoczenie stacji bazowej - 100m wzdłuż gł. osi promieniowania - GKP	0,074	0,075
26	1,2	1,92	0,003	0,005	0,3-2,0	N:50°54'15.4" E:20°39'03.8"	otoczenie stacji bazowej - GKP	0,068	0,070
27	1,1	1,76	0,003	0,005	0,3-2,0	N:50°54'15.4" E:20°38'57.3"	otoczenie stacji bazowej - GKP	0,063	0,064
28	1,1	1,76	0,003	0,005	0,3-2,0	N:50°54'17.5" E:20°38'57.4"	otoczenie stacji bazowej - GKP	0,063	0,064
29	1,3	2,08	0,003	0,006	0,3-2,0	N:50°54'15.4" E:20°38'57.3"	otoczenie stacji bazowej - GKP	0,074	0,075
A	0,7*	1,28	0,002	0,003	0,3-2,0	N:50°54'08.8" E:20°38'45.3"	Witosa 72h, pomiar przed budynkiem -DPP	0,046	0,046
B	2,6	4,15	0,007	0,011	0,3-2,0	N:50°54'11.5" E:20°38'52.4"	Sieje 58, pomiar przed budynkiem - DPP	0,148	0,151
C	2,3	3,68	0,006	0,010	0,3-2,0	N:50°54'11.8" E:20°38'52.3"	Sieje 75, pomiar przed budynkiem - DPP	0,131	0,134
D	3,2	5,11	0,008	0,014	0,3-2,0	N:50°54'11.6" E:20°38'53.5"	Sieje 77, pomiar przed budynkiem - DPP	0,183	0,186
E	1,3	2,08	0,003	0,006	0,3-2,0	N:50°54'11.4" E:20°38'54.2"	Sieje 79/79a, pomiar przed budynkiem -DPP	0,074	0,075
F	1,0	1,60	0,003	0,004	0,3-2,0	N:50°54'14.9" E:20°38'56.1"	Budynek bez adresu, pomiar przed budynkiem -DPP	0,057	0,058
G	2,8	4,47	0,007	0,012	0,3-2,0	N:50°54'16.4" E:20°38'56.4"	Osiedle Sieje 7, pomiar przed budynkiem -DPP	0,160	0,163
H	1,4	2,24	0,004	0,006	0,3-2,0	N:50°54'15.1" E:20°38'59.6"	Sieje Dąbrowa 68, pomiar przed budynkiem -DPP	0,080	0,081
I	1,6	2,56	0,004	0,007	0,3-2,0	N:50°54'14.5" E:20°39'05.5"	Sieje Dąbrowa 68b, pomiar przed budynkiem -DPP	0,091	0,093
J	1,4	2,24	0,004	0,006	0,3-2,0	N:50°54'12.0" E:20°39'02.8"	Budynek bez adresu, pomiar przed budynkiem -DPP	0,080	0,081
K	1,6	2,56	0,004	0,007	0,3-2,0	N:50°54'09.9" E:20°39'14.9"	Witosa 66/66a, pomiar przed budynkiem -DPP	0,091	0,093

Wynik pomiaru pole - E [V/m] - maksymalna wartość chwilowa zmierzona w danym pionie pomiarowym (uśredniona na podstawie punktu 11 załącznika do Rozporządzenia Ministra Klimatu z dnia 17 lutego 2020 r. w sprawie sposobów sprawdzania dotrzymania dopuszczalnych poziomów pól elektromagnetycznych w środowisku (Dz.U. 2020 poz. 258, Dz.U. 2022 poz. 1121)). Zgodnie z pkt. 7 załącznika do Rozporządzenia Ministra Klimatu z dnia 17 lutego 2020 r. w sprawie sposobów sprawdzania dotrzymania dopuszczalnych poziomów pól elektromagnetycznych w środowisku (Dz.U. 2020 poz. 258, Dz.U. 2022 poz. 1121) nie stosuje się poprawek pomiarowych.

Przyjęto najniższą dopuszczalną wartość składowej elektrycznej pola dla objętego pomiarami zakresu częstotliwości $\min(ME_{gr}) = 28 \text{ V/m}$ oraz składowej magnetycznej $\min(MH_{gr}) = 0,073 \text{ A/m}$.

* - wartość zmierzona poniżej zakresu akredytacji. Do obliczeń przyjęto wartość zgodną z dolną granicą akredytowanego zakresu pomiarowego metody.

GKP - główne kierunki pomiarowe

PKP - pomocnicze kierunki pomiarowe

DPP - dodatkowe punkty pomiarowe

PP - pion pomiarowy

U - niepewność pomiarowa rozszerzona, przy poziomie ufności 95%, z uwzględnieniem współczynnika rozszerzenia $k=2$

WM_E - wartość wskaźnikowa poziomu emisji pól elektromagnetycznych dla miejsc dostępnych dla ludności dla składowej elektrycznej pola

WM_H - wartość wskaźnikowa poziomu emisji pól elektromagnetycznych dla miejsc dostępnych dla ludności dla składowej magnetycznej pola

7. Stwierdzenie zgodności

Na podstawie wytycznych podanych w Rozporządzeniu Ministra Zdrowia z dnia 17 grudnia 2019 r. w sprawie dopuszczalnych poziomów pól elektromagnetycznych w środowisku (Dz.U. 2019 poz. 2448) oraz sposobów sprawdzania dotrzymania tych poziomów zgodnie z Rozporządzeniem Ministra Klimatu z dnia 17 lutego 2020 r. w sprawie sposobów sprawdzania dotrzymania dopuszczalnych poziomów pól elektromagnetycznych w środowisku (Dz.U. 2020 poz. 258) oraz Rozporządzeniem Ministra Klimatu i Środowiska z dnia 6 maja 2022 r. zmieniającego rozporządzenie w sprawie sposobów sprawdzania dotrzymania dopuszczalnych poziomów pól elektromagnetycznych w środowisku (Dz.U. 2022 poz. 1121), dotyczących źródła wymagań, które muszą być spełnione, w oparciu o zasadę podejmowania decyzji zgodną z pkt. 26 Rozporządzenia Ministra Klimatu z dnia 17 lutego 2020 r. (Dz.U. 2020 poz. 258), na podstawie wyników pomiarów pól elektromagnetycznych wykonanych w dniu 09.12.2022 stwierdzono, że wszystkie wyniki przeprowadzonych pomiarów w danym obszarze pomiarowym oraz wyznaczone na tej podstawie wskaźniki WME oraz WMH są mniejsze od wartości dopuszczalnych – zgodnie z przepisami wydanymi na podstawie art. 122 ust. 1 ustawy z dnia 27 kwietnia 2001 r. – Prawo ochrony środowiska – załącznikiem do Rozporządzenia Ministra Klimatu i Środowiska z dnia 17 lutego 2020 r. w sprawie sposobów sprawdzania dotrzymania dopuszczalnych poziomów pól elektromagnetycznych w środowisku (Dz.U. 2020 poz. 258, pkt 26).

8. Oświadczenie.

Wyniki badania odnoszą się wyłącznie do badanego obiektu.

Bez pisemnej zgody sprawozdanie nie może być powielane inaczej, jak tylko w całości.

Uwagi i zastrzeżenia przyjmowane są w formie pisemnej.

9. Spis załączników.

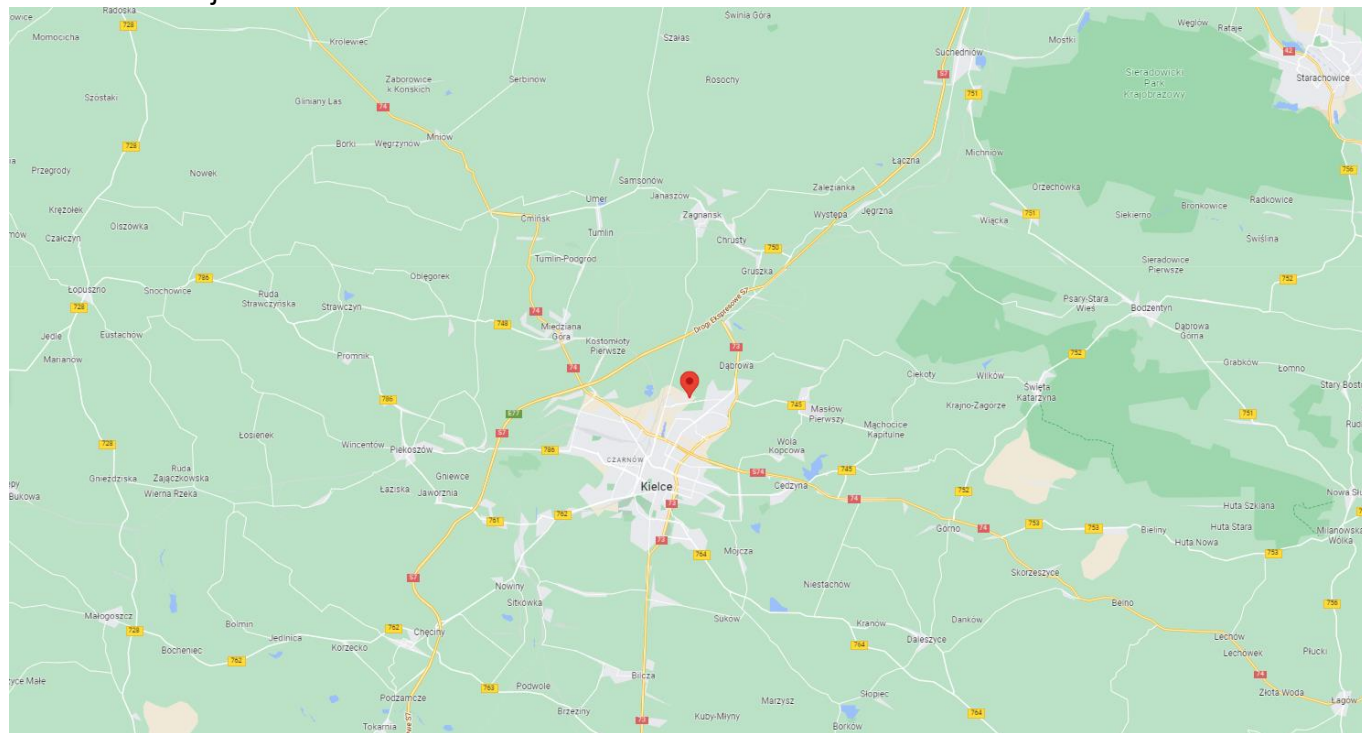
Zał. 1. Lokalizacja obiektu.

Zał. 2. Widok pionów pomiarowych

Zał. 3. Załączniki graficzne

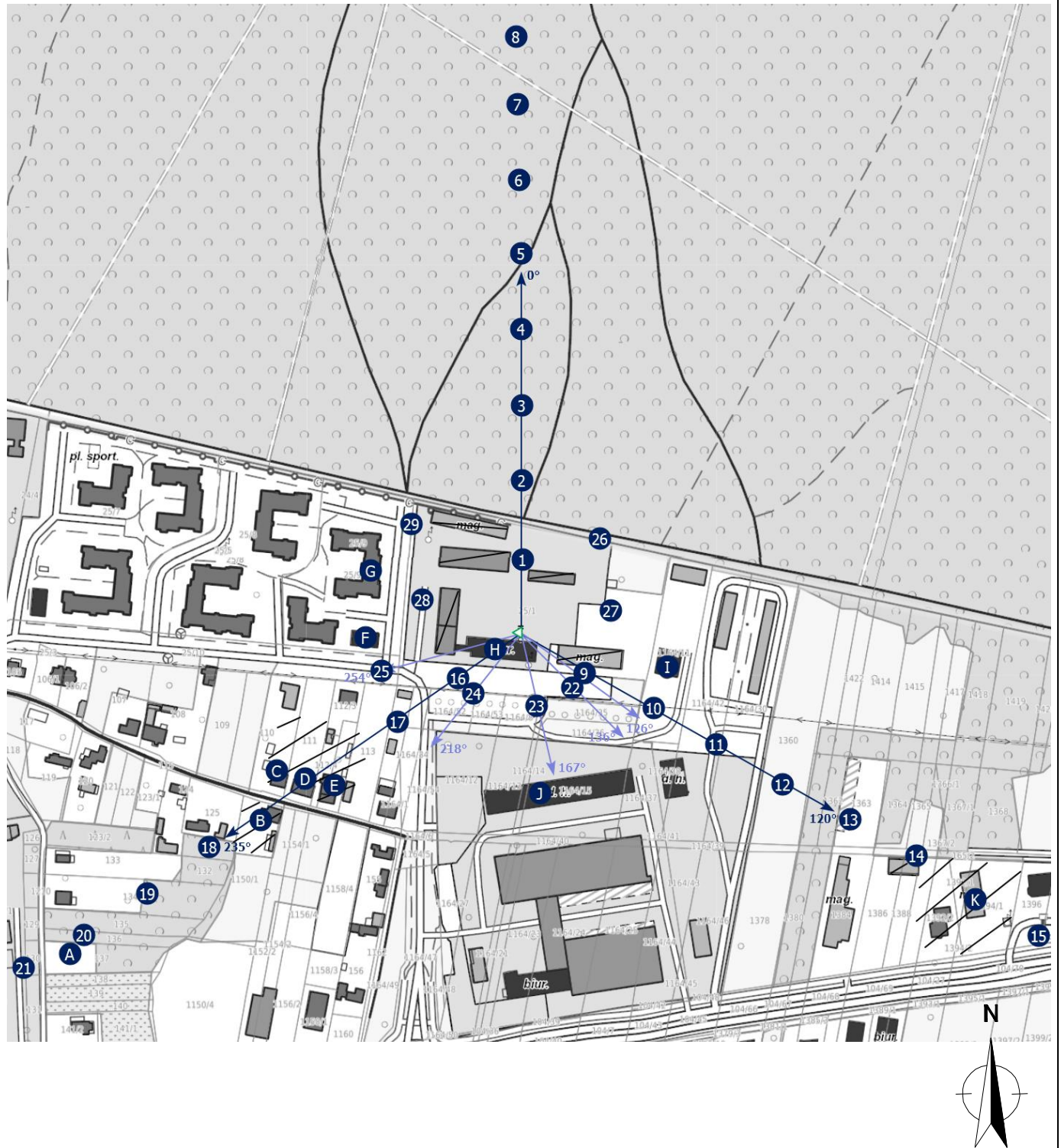
Koniec sprawozdania

Załącznik 1. Lokalizacja obiektu





Współrzędne geograficzne	
długość:	20°39'01.07"E
szerokość:	50°54'14.93"N

Załącznik 2. Widok pionów pomiarowych





LEGENDA:

 inna instalacja radiokomunikacyjna

 brak dostępu

 pion pomiaru

 antena sektorowa

 antena radioliowa

Skala:1:4700



Załącznik 3. Załączniki graficzne.

